

**ANEXOS A LA SOLICITUD DE DEPÓSITO DE LA
LÍNEA CELULAR [IC-AD3-F-iPS-4F-1](#) EN EL BANCO
NACIONAL DE LÍNEAS CELULARES**

**ANNEXES TO THE APPLICATION FORM FOR DEPOSITING
[IC-AD3-F-iPS-4F-1](#) CELL LINE
INTO THE NATIONAL BANK OF STEM CELL LINES**

ANEXOS / ANNEXES

Anexo 1: Test de pluripotencia de la línea **IC-AD3-F-iPS-4F-1**

Annex 1: Pluripotency Test

Anexo 2: Test de diferenciación *in vitro* de la línea **IC-AD3-F-iPS-4F-1**

Annex 2: In vitro differentiation Test

Anexo 3: Cariotipo de la línea **IC-AD3-F-iPS-4F-1**

Annex 3: Karyotype

Anexo 4: Huella genética de los fibroblastos (células de origen) y de la línea

IC-AD3-F-iPS-4F-1

Annex 4: Genetic fingerprinting

Anexo 5: Test de silenciamiento de la línea **IC-AD3-F-iPS-4F-1**

Annex 5: Silencing Test

Anexo 6: Confirmación del diagnóstico genotípico de la línea **IC-AD3-F-iPS-4F-1**

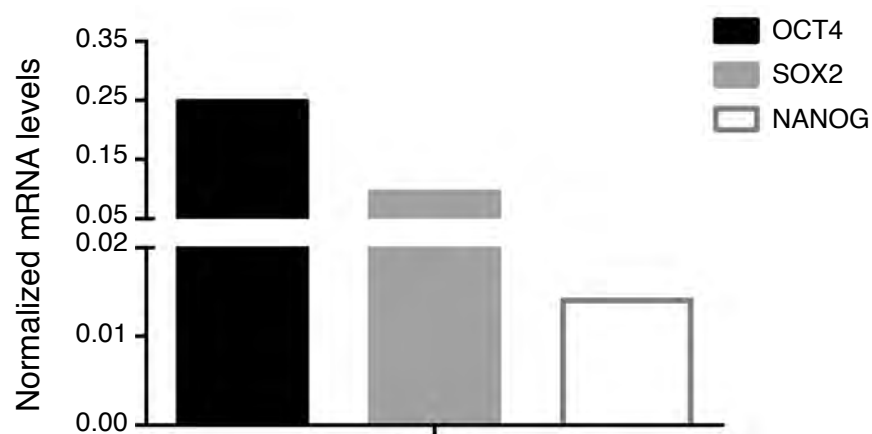
Annex 6: Confirmation of genotypic diagnosis of the line

Anexo 7: Test de micoplasma de la línea **IC-AD3-F-iPS-4F-1**

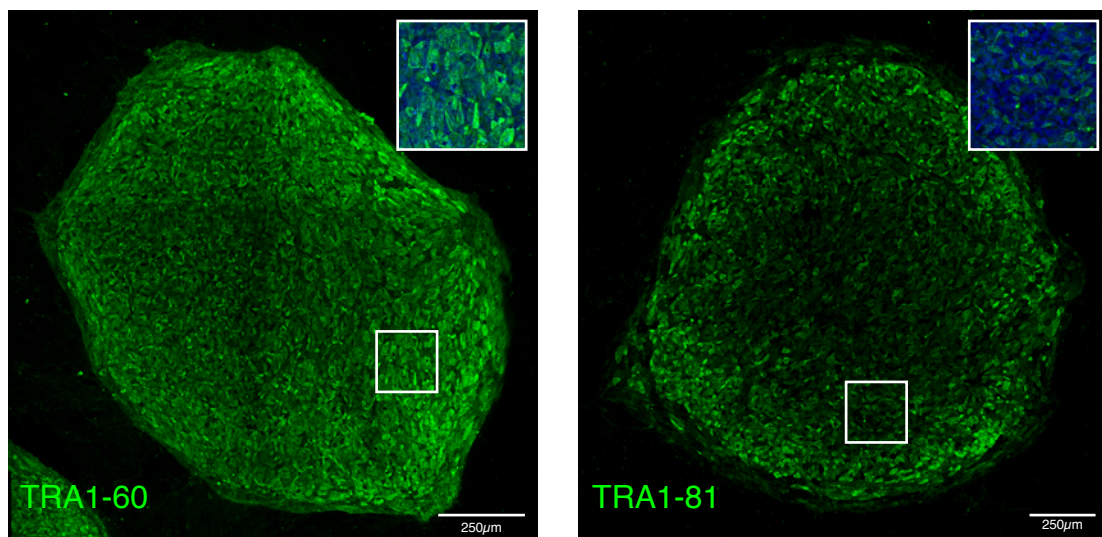
Annex 7: Mycoplasma Test

Anexo 1
Test de pluripotencia de la línea IC-AD3-F-iPS-4F-1

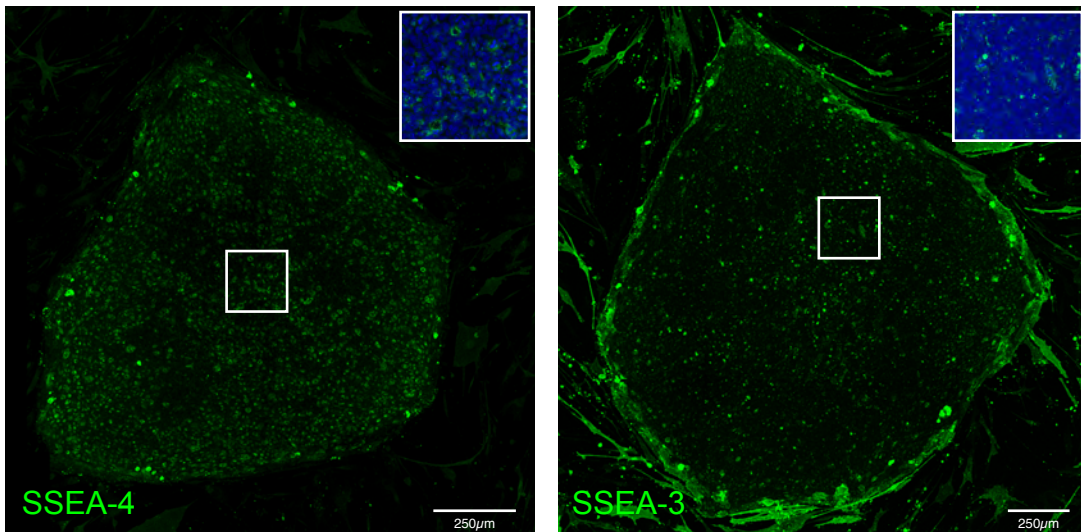
Annex 1
Pluripotency Test



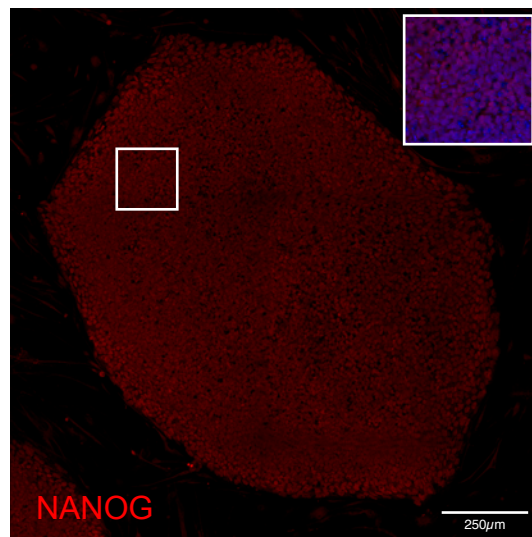
Niveles de expresión de OCT4, SOX2 y NANOG de la línea IC-AD3-F-iPS-4F-1
Expression leves of OCT4, SOX2 and NANOG



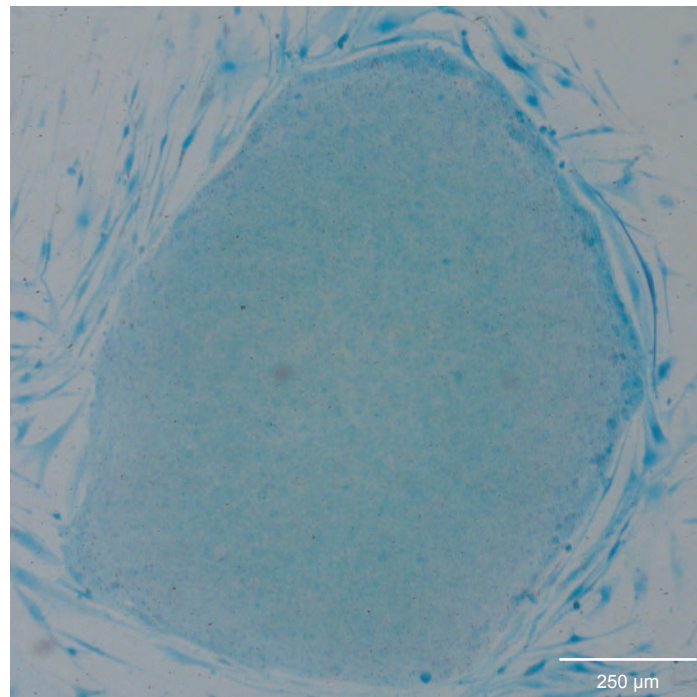
Detección por inmunofluorescencia de la expresión de TRA1-60 y TRA1-81 en la línea IC-AD3-F-iPS-4F-1
Immunofluorescence detection of TRA1-60 and TRA1-81 expression



Detección por inmunofluorescencia de la expresión de SSEA-4 y SSEA-3 en la línea [IC-AD3-F-iPS-4F-1](#)
Immunofluorescence detection of SSEA-4 and SSEA-3 expression



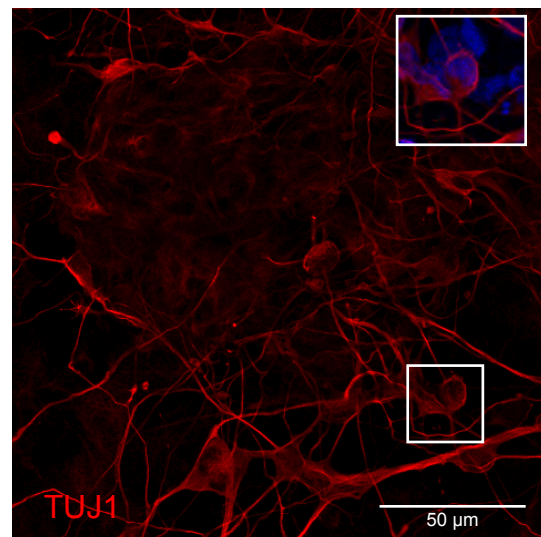
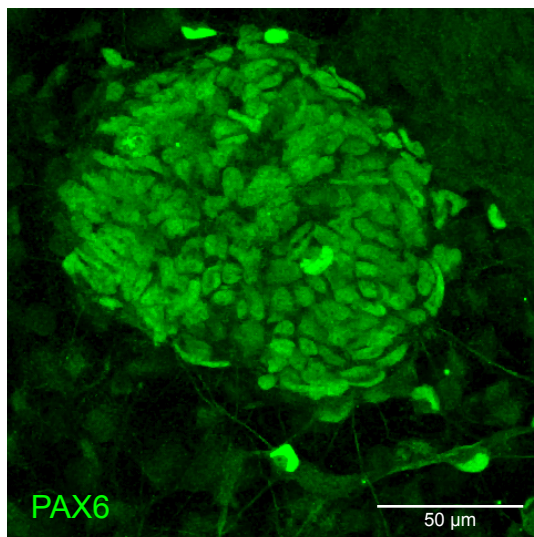
Detección por inmunofluorescencia de la expresión de NANOG en la línea [IC-AD3-F-iPS-4F-1](#)
Immunofluorescence detection of NANOG expression



Detección de la actividad fosfatasa alcalina en la línea IC-AD3-F-iPS-4F-1
Detection of alkaline phosphatase activity

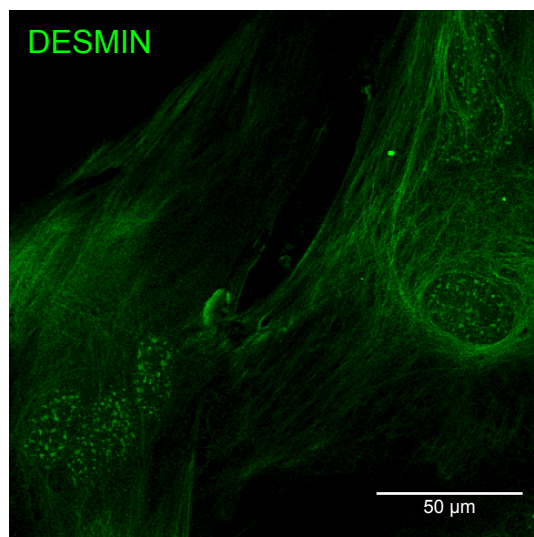
Anexo 2
Test de diferenciación in vitro de la línea IC-AD3-F-iPS-4F-1

Annex 2
In vitro differentiation Test



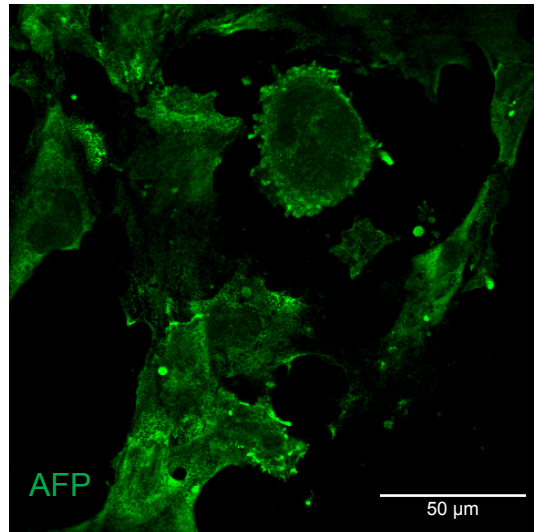
Diferenciación *in vitro* a Ectodermo de la línea IC-AD3-F-iPS-4F-1. Células positivas para PAX6 y TUJ1.

In vitro differentiation into Ectoderm. PAX6 and TUJ1 positive cells.



Diferenciación *in vitro* a Mesodermo de la línea IC-AD3-F-iPS-4F-1. Células positivas para DESMIN.

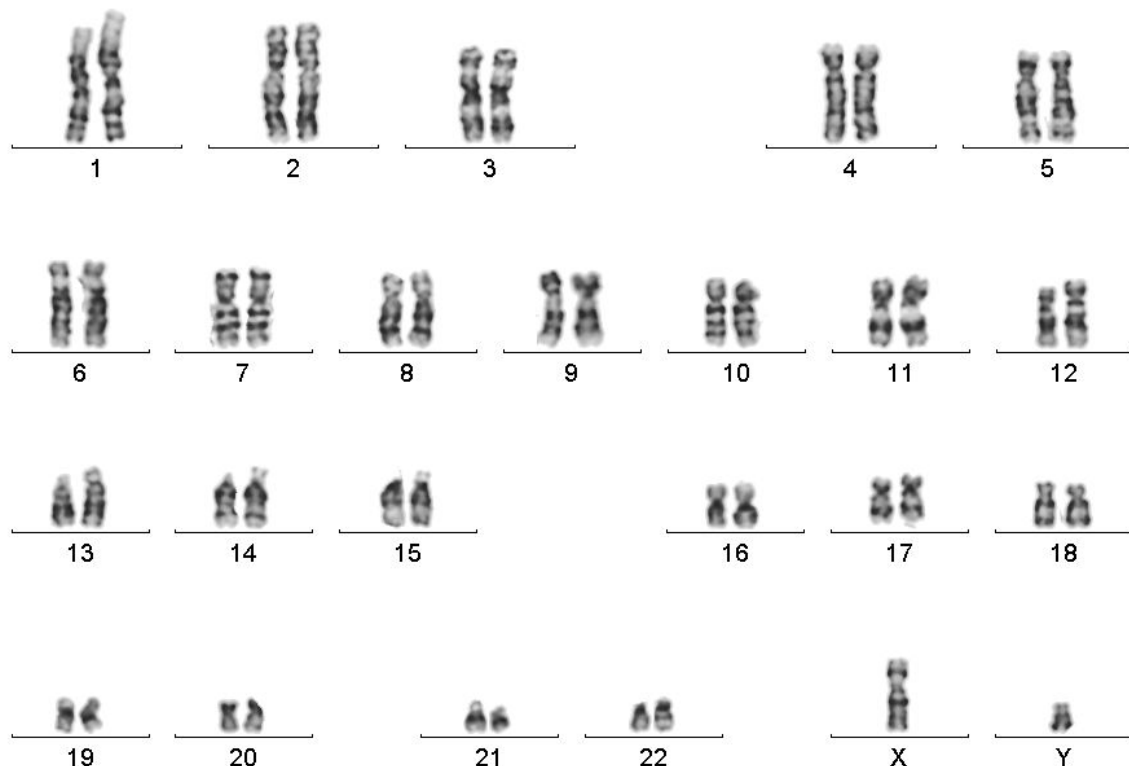
In vitro differentiation into Mesoderm. DESMIN positive cells.



Diferenciación in vitro a Endodermo de la línea [IC-AD3-F-iPS-4F-1](#). Células positivas para alfa-fetoproteína.
In vitro differentiation into Endoderm. Alpha-fetoprotein positive cells.

Anexo 3
Cariotipo de la línea **IC-AD3-F-iPS-4F-1**

Annex 3
Karyotype

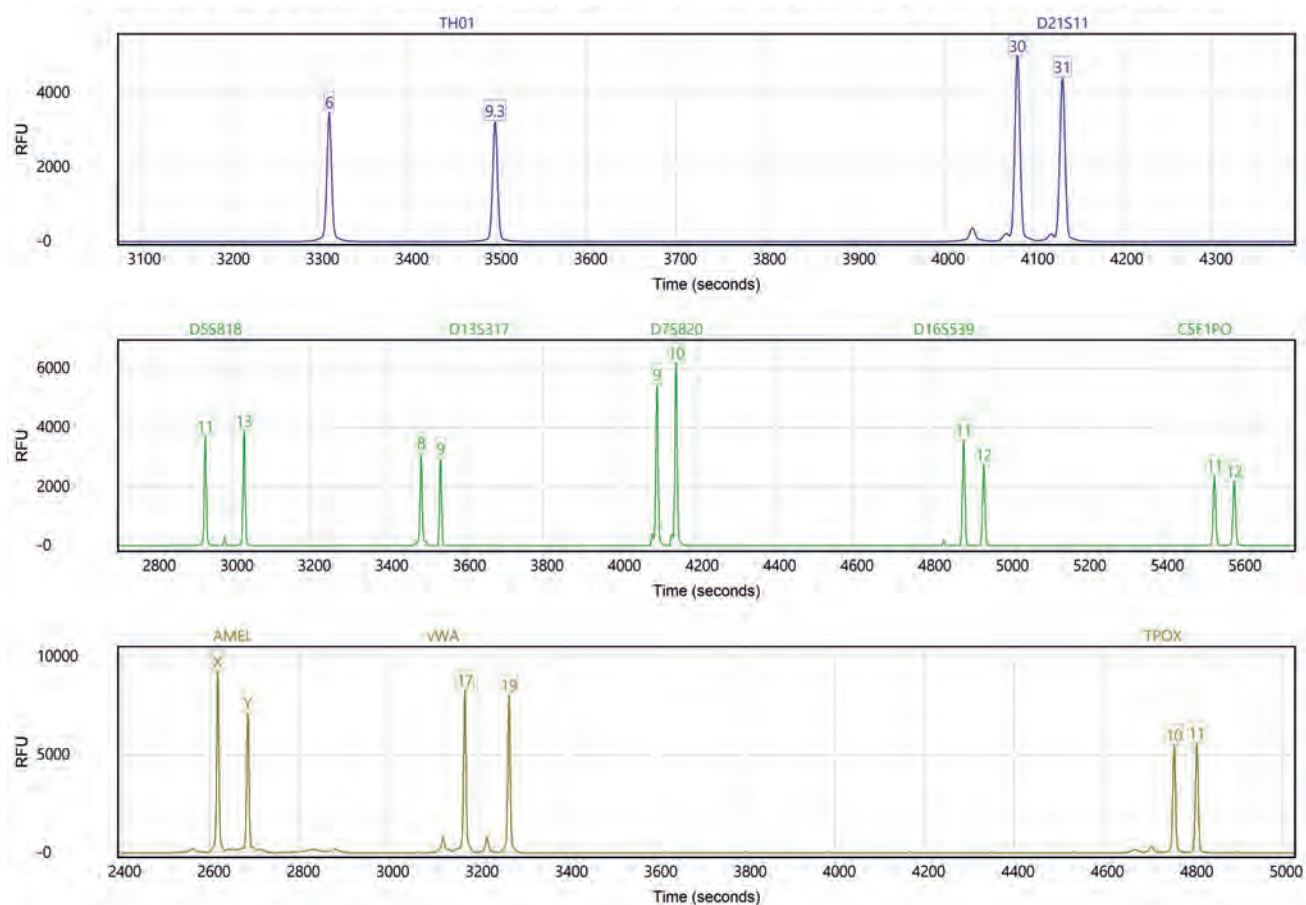


Anexo 4

Huella genética de los fibroblastos (células de origen)

Annex 4

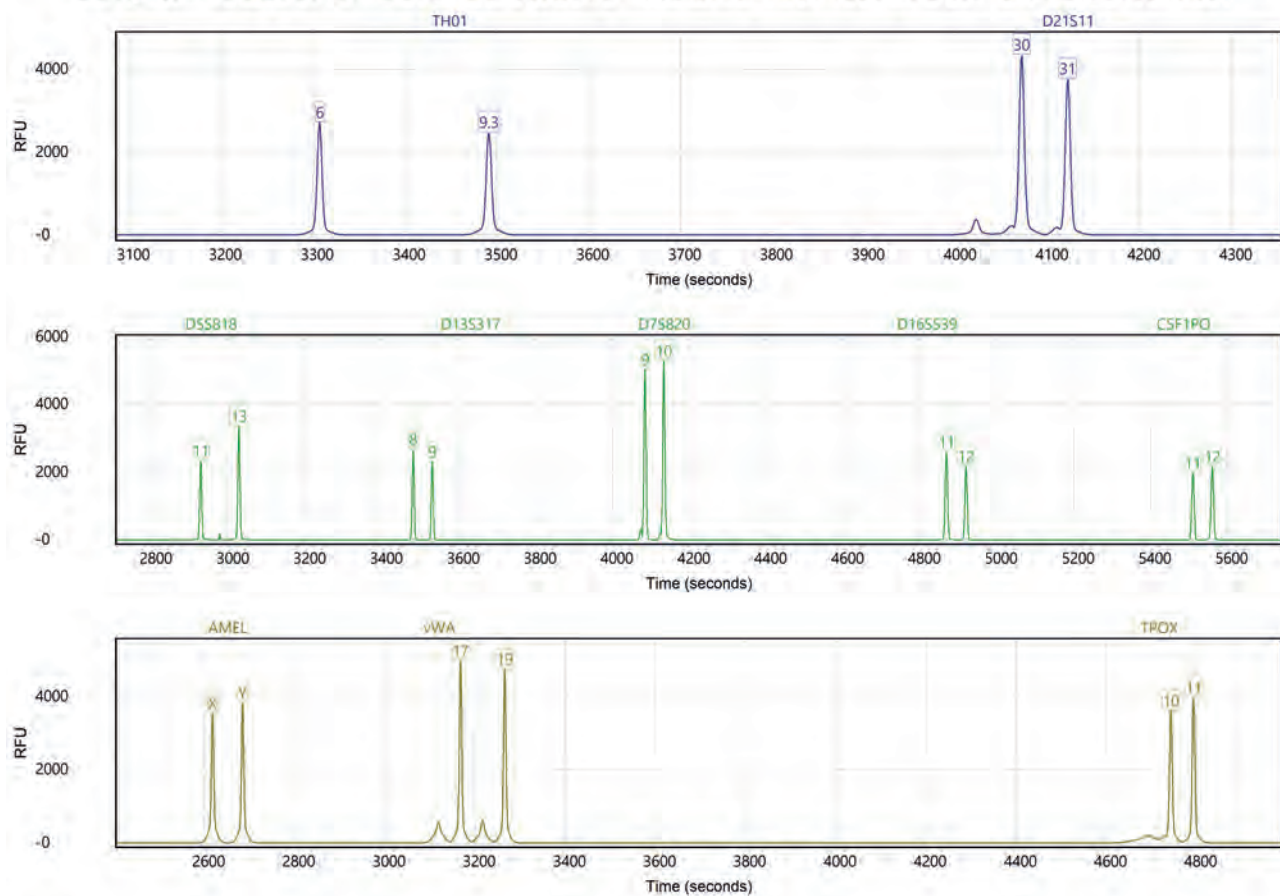
Genetic fingerprinting of fibroblasts



GenePrint10 Marker	Test Sample Profile
TH01	6, 9.3
D21S11	30, 31
D5S818	11, 13
D13S317	8, 9
D7S820	9, 10
D16S539	11, 12
CSF1PO	11, 12
AMEL	X, Y
vWA	17, 19
TPOX	10, 11

Anexo 4 Huella genética de la línea IC-AD3-F-iPS-4F-1.

Annex 4 Genetic fingerprinting of line IC-AD3-F-iPS-4F-1



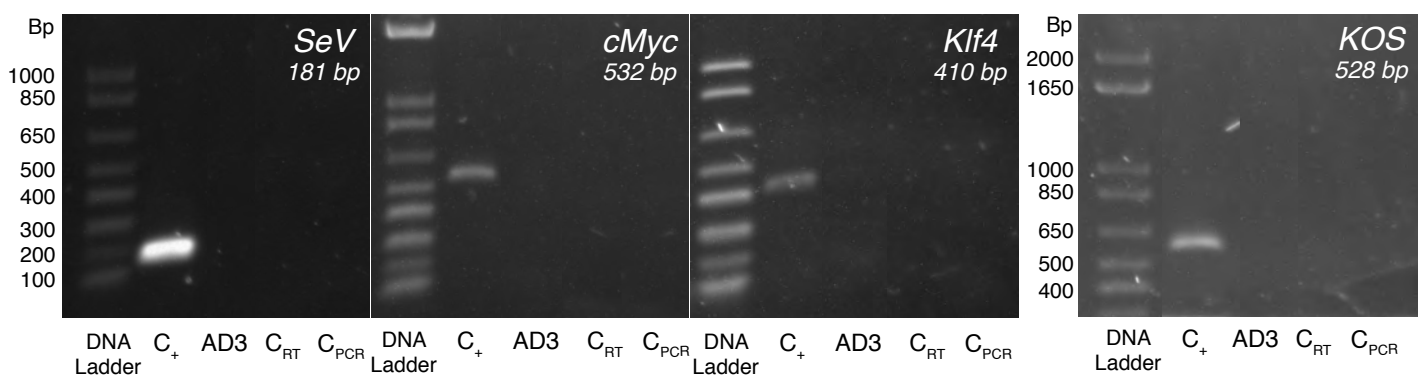
GenePrint10 Marker	Test Sample Profile
TH01	6, 9.3
D21S11	30, 31
D5S818	11, 13
D13S317	8, 9
D7S820	9, 10
D16S539	11, 12
CSF1PO	11, 12
AMEL	X, Y
vWA	17, 19
TPOX	10, 11

Anexo 5

Test de silenciamiento de la línea IC-AD3-F-iPS-4F-1

Annex 5

Silencing Test



Gene	Primer (5'-3')		Length
<i>SeV</i>	Forward	GGA TCA CTA GGT GAT ATC GAG C*	181 bp
	Reverse	ACC AGA CAA GAG TTT AAG AGA TAT GTA TC*	
<i>KOS</i>	Forward	ATG CAC CGC TAC GAC GTG AGC GC	528 bp
	Reverse	ACC TTG ACA ATC CTG ATG TGG	
<i>cMyc</i>	Forward	TAA CTG ACT AGC AGG CTT GTC G*	532 bp
	Reverse	TCC ACA TAC AGT CCT GGA TGA TGA TG	
<i>Klf4</i>	Forward	TTC CTG CAT GCC AGA GGA GCC C	410 bp
	Reverse	AAT GTA TCG AAG GTG CTC AA*	

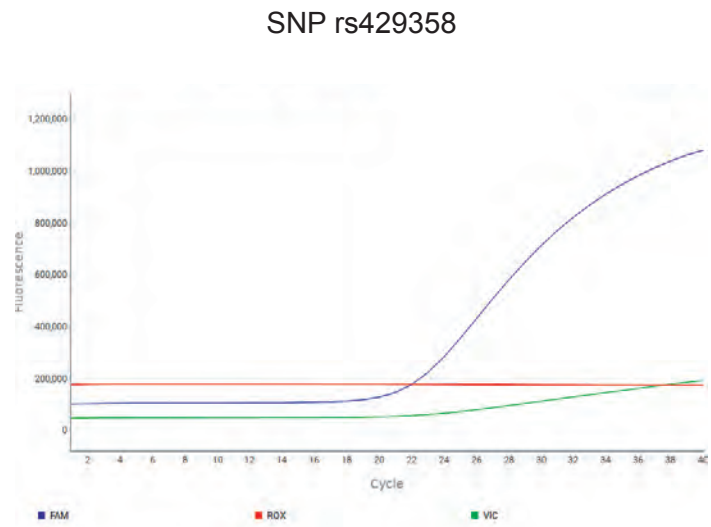
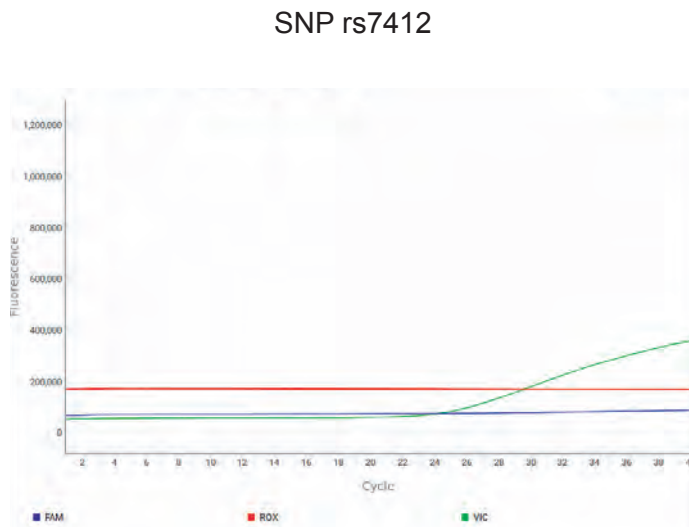
* Primer contains SeV genome sequences. Pairing of these primers with transgene-specific primers allows specific detection of transgenes carried by the CytoTune™ 2.0 Sendai reprogramming vectors.

Anexo 6

Confirmación del diagnóstico genotípico de la línea IC-AD3-F-iPS-4F-1

Annex 6

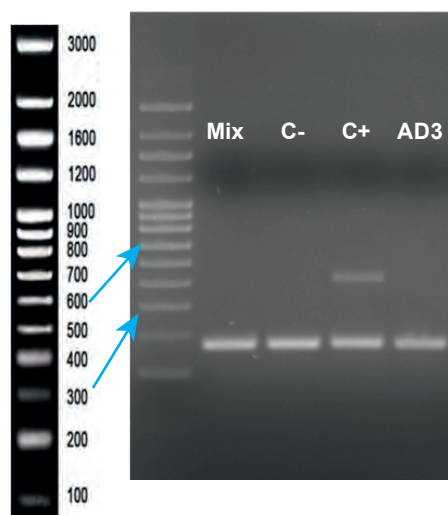
Confirmation of genotypic diagnosis of the line IC-AD3-F-iPS-4F-1



Using TaqMan SNP genotyping assays, we analyzed the rs7412 and rs429358 SNPs showing that the VIC probe (green) bound to the C-containing allele in rs7412 SNP while the FAM probe (blue) bound to the T-containing allele in rs429358 SNP, confirming that the IC-AD3-F-iPS-4F-1 cell line has an ApoE3/E3 genotype.

Anexo 7
Test de micoplasma de la línea IC-AD3-F-iPS-4F-1

Annex 7
Mycoplasma Test



- Contaminación: Bandas entre 448-611 bp Micoplasma positivo
- Control interno 270 bp
- A mayor contaminación menos amplificación del control interno
- C- : control interno
- C+ : control positivo de cultivo contaminado con micoplasma